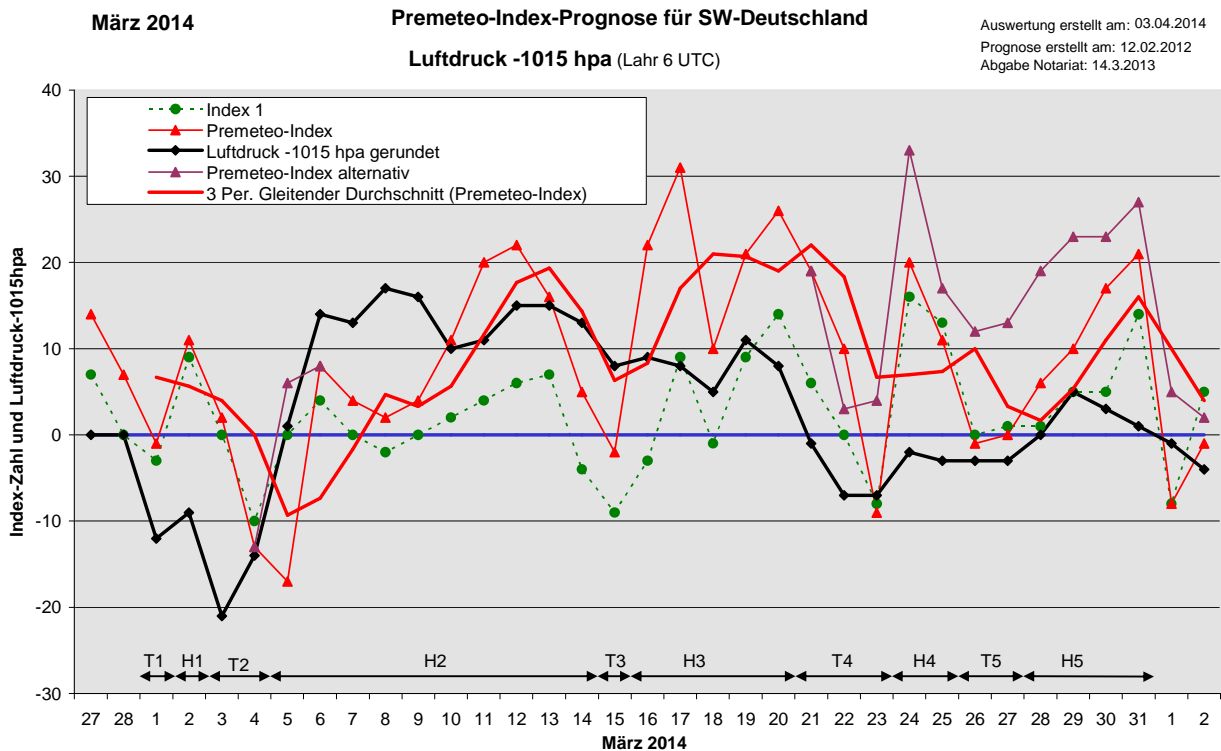


Wetterlagenverlauf März 2014 im Vergleich zur Premeteo-Indexprognose für Südwest-Deutschland

(Im Diagramm sind über der Datumsachse die real eingetreten Hoch- und Tiefdruckphasen durch Doppelpfeile eingetragen. Ausschlaggebend für die Evaluation ist der tägliche Premeteo-Index, in der dünneren, roten Linie mit Dreieckspunkten dargestellt. Ein negativer Premeteo-Index zeigt die Wahrscheinlichkeit für eine zyklonale Tiefdruckströmung, ein positiver Premeteo-Index die Wahrscheinlichkeit für eine antizyklonale Hochdruckströmung an.

Die Wetterlagenbeschreibungen wurden anhand der Berliner Wetterkarten erstellt. Ausschlaggebend ist die Europa-Bodenkarte um 0 UTC, die feiner skalierte 12 UTC-Karte von Mitteleuropa wird nur bei einem Wetterlagenwechsel für die Einordnung des Tages hinzugezogen. Am Ende des Dokuments befinden sich die Tabellen und Konstellationen, die dem Diagramm zugrunde liegen.)



Tiefdruckphase 1: Am 1. März setzte sich die zyklonale Lage vom letzten Februartag fort. Der Premeteo-Index lag bei -1.

Hochdruckphase 1: Am 2. reichte ein Hoch von Westfrankreich über Westdeutschland. Der Premeteo-Index lag bei +11.

Tiefdruckphase 2: Tief Christine I und II dehnte sich am 3. und 4. März von Großbritannien bis über Deutschland aus. Der Premeteo-Index summierte auf -11.

Hochdruckphase 2: Am 5. kam Südwestdeutschland in den Isobarenbereich von Hoch Guido über Ostfrankreich. Der Premeteo-Index war bei -13 und damit eine Fehlprognose. Doch war für diesen Tag ein alternativer Index von +6 ausgegeben wegen URA 144 ORC H?*(6/0,5) 0/+9. Der Hochdruckimpuls schien zum Erstellungszeitpunkt der Prognose zu unsicher und wurde daher nur in den alternativen Index übernommen, aber er hat sich nun doch bestätigt. Hoch Guido bestimmte die Witterung bis zum 7. und bewegte sich dabei langsam nach Osten. Der Luftdruck stieg durch die Nordströmung, die sich in der Höhe ausbildete, stark an, während der Premeteo-Index bis zum 9. März noch im flach positiven Bereich verlief. In der Höhenkarte war eine geschlossene Hochdruckzelle auch erst ab dem 9. ausgebildet. Der Premeteo-Index nahm ab dem 10. März Werte über +10 an. Auf Hoch Guido folgte Hoch Helmut und sein Kern lag am 11. schon über Osteuropa, während Hoch Ingo bereits über die Nordsee nachrückte. Hoch Ingo etablierte sich bis zum 14. über den Britischen Inseln. Der Premeteo-Index summierte auf +75.

Tiefdruckphase 3: Ganz genau passend zum Premeteo-Index von -2 stellte sich für einen Tag am 15. durch Tief Ev über Südkandinavien eine zyklonale Strömung ein.

Hochdruckphase 3: Am 16. zog Hoch Ingo vom Ostatlantik herein und eröffnete eine neue antizyklonale Phase. Vom 17. auf den 18. März fiel der Premeteo-Index von +32 auf +10 Punkte in einer steilen Spitze nach unten. Tatsächlich griff Tief Gina auf den größten Teil Deutschlands über, der Luftdruck fiel ab und stieg am 19. wieder steil an, dem Premeteo-Index entsprechend. Über Südwestdeutschland blieb die Strömung jedoch durchgehend antizyklonal. Ab dem 19. und 20. war es Hoch Johannes, das sich über die Biskaya zum Südostbalkan hin bewegte. Der Premeteo-Index summierte über die ganze antizyklonale Phase auf +110.

Tiefdruckphase 4: Gemäß dem Premeteo-Index hätte die vorangegangene Hochdruckphase noch zwei Tage länger anhalten sollen. Aber am Abend des 20. wurde der unbekannte Aspekt Neptun 135° Haumea exakt, der am 22. noch durch die Konjunktion von Merkur mit Neptun betont wurde. Dies ist nun ein erster Hinweis für einen möglichen, zyklonalen Impuls des Aspekts. Vom 21. auf den 22. bildete aber auch die Sonne eine Oppositionssymmetrie zum Supergalaktischen Zentrum (GSZ) und zu Makemake. Jede Opposition ist für sich gesehen ein starker Aspekt. Der zu Makemake ist ein Hf-Aspekt, der zum GSZ ein Tf-Aspekt und nach der bestehenden Regel werden Symmetrien mit gegenteiligen Aspekt-Impulsen erstmal nicht berücksichtigt. Der GSZ-Aspekt hat die höhere Rangordnung. Im alternativen Index wurde diese Tatsache berücksichtigt und da ging der Premeteo-Index dann auch nur mit +3 Punkten ein. Es war das kräftige Tief Hannelore, das sich vom Nordmeer aus bis zum 23. über ganz Deutschland ausdehnte. Der Premeteo-Index summierte über die ganze Phase auf +20.

Hochdruckphase 4: Am 24. setzte sich wieder das Azorenhoch durch. Es gab noch vereinzelte Schauer, doch klarte es in der Nacht zum 25. völlig auf. Am 25. lag der Kern über dem Voralpengebiet. Der Premeteo-Index summierte auf +31.

Tiefdruckphase 5: Am 26. und 27. setzte sich gemäß dem Premeteo-Index Tief Jutta über dem Westmittelmeer durch. Der Premeteo-Index summierte auf -2.

Hochdruckphase 5: Hoch Kai wanderte von Skandinavien nach dem Balkan und dehnte dabei seinen Isobarenbereich vom 28. bis zum 31. bis in unsere Region aus, unter Verstärkung von Hoch Linus, das sich über dem Nordmeer ausbildete. Der Premeteo-Index summierte auf +54.

Zusammenfassung: Der März 2014 war ein sehr guter Prognosemonat. Die Prognose war schon am 12.2.2012 fertig gestellt worden und zeitigte nur 4 Fehlprognosestage, an denen das Vorzeichen des Premeteo-Index nicht mit dem Wetterlagentyp übereinstimmte (am 3., 5., 21., und 22.). In der detaillierten Wetterlagenbeschreibung wird deutlich, dass an diesen Tagen Konstellationen von Uranus und Neptun mit Kuipergürtel-Kleinplaneten vorlagen, deren Impuls zum Zeitpunkt der Prognose noch nicht mit Sicherheit festgestellt werden konnte. An allen anderen Tagen bestätigten sich die Prognoseregeln, und wie das Diagramm zeigt, bildete die Luftdruckkurve z.B. am 15., 18. und 23. auch die an diesen Tagen ausgeprägten, nach unten weisenden Spitzen des Premeteo-Index ab.

SW-D befand sich im März 2014 an 22 Tagen im Einflussbereich antizyklonaler Strömung. Die Summe des prognostizierten Premeteo-Index für diese Tage ergab +281, das einer Indexzahl von +12,77 pro Tag entsprach.

An 9 Tagen befand sich SW-D im Einflussbereich zyklonaler Strömung. Die Summe des prognostizierten Premeteo-Index für diese Tage ergab +5, das einer Indexzahl pro Tag von +0,56 entsprach.

Die Prognose durch die Premeteo-Wettersymbole war an 4 Tagen falsch (am 5., 21., 22., 24.), an 14 Tagen richtig und an 13 Tagen tendenziell richtig.

Dipl.-Met. Sylvia Dom 3.4.2014 / © Premeteo GmbH, Durbach

03.04.2014

März 2014



Prognose für SW-Deutschland

01.03.2014

Kommentar für Aktuelles: Der März 2014 ist gekennzeichnet durch die andauernde Konjunktion von Quaoar mit dem Zentrum der Milchstraße GaZ und den daraus resultierenden Auslösungen der fast exakten Aspekte. Ab dem 23. 3. bis zum 9. 4. 2014 wird Apo 144° GaZ ausgelöst. Wegen der Unsicherheit des Verhältnisses vom Mondapogäum zum Zentrum der Milchstraße wird dieser Aspekt nur in den alternativen Index 3 eingerechnet. Bezüglich der Wettersymbole bringt der alternative Index daher vom 26. bis 28. daher überwiegend sonniges, antizyklonales Wetter.
 Ebenso ist der ganze Monat gekennzeichnet durch das Nahe-beieinander-Stehen und in Konjunktiontreten von Vesta, Ceres und dem aufsteigenden Mondknoten. Dies bringt einen durchgehend positiven Wertezuwachs für den Premeteo-Index, sodass der ganze März 2014 ab dem 10. insgesamt trocken und sonnig ausfallen dürfte. Am 20. um 20:10 UTC wird der erstmals auftretende Aspekt Neptun 135° Haumea exakt. Sein Impuls ist noch unbekannt.

Langsamläufer-Impulse	H*			T*	H2*, H*					
Schnellläufer-Impulse	T, H	T	T	T	2T	2H		T	H	
Temperaturimpulse	W	K	W	K?, K		K		W		
Premeteo-Index - zyklonal, + antizyklonal (Index 1+2+3)	-1	11	2	-13	-17	8	4	2	4	11
Pre.IX (ALTERNATIV)					6					
Index 1 (12 - 12 UTC) exakte Aspekte des Tages	-3	9	0	-10	0	4	0	-2	0	2
Index 1(ALTERNATIV)					9					
Symmetrien (0 - 0 UTC)			Jun 150 Pal Ves (23) T* A* A*-7	Orc 144 Ven Ura (15) T H2*(6/0,5) A-7/7	Pal 149 Ven Jun (05) A T* H W-7 Jun 149 Pal Cer. (06) T* A* A*-7				Pal 70p Nep Mar (23) A* H +7?	
Index 2 (12 - 12 UTC)	0	0	0	-7	-21	0	0	0	0	0
Index 2 ALTERNATIV					-7					
ausgelöste LL-Aspekte	Ven 30 GaZ T-2 Mar 60 GaZ H4	Ven 30 GaZ T-2 Mar 60 GaZ H4	Ven 30 GaZ T-2 Mar 60 GaZ H4	Mar 60 GaZ H4	Mar 60 GaZ H4 (Ves 180 Kn2 (H5))	Mar 60 GaZ H4 (Ves 180 Kn2 (H5))	Mar 60 GaZ H4 (Ves 180 Kn2 (H5))	Mar 60 GaZ H4 (Ves 180 Kn2 (H5))	Mar 60 GaZ H4 (Ves 180 Kn2 (H5))	Mar 60 GaZ H4 (Ves 180 Kn2 (H5))
Index 3 (Summe)	2	2	2	4	4	4	4	4	4	9
Index 3 ALTERNATIV										
Symbol-Prognose	3	2	3	5	5	3	3	3	3	2
Symbol-Prognose altern.	3	2	3	5	5	3	3	3	3	2
Wochentag	Sa	So	Mo	Di	Mi	Do	Fr	Sa	So	Mo
Datum	1	2	3	4	5	6	7	8	9	10
reale Wetterlage	T1: T - H*, H / -1	H1: T / +11	T2: T*, 2T / -11		H2: 3H*, H2*, 2Hf, 7H - Tt, 6T / +75					
Luftdruck (hpa) 06 UTC	1003,2	1006	993,8	1000,8	1015,6	1028,7	1027,5	1032	1031,2	1025,4
mittl. Temp.(°C)	5,8	5,9	5,7	4,8	6,1	6,9	5,6	8,2	8,7	7,8
Sonnenscheindauer (h)	2,2	5,4	1,6	0,6	7,6	9,7	9,8	10,1	10,4	10,4
Niederschlag (Liter)	2,2	0	0,1	0	0	0	0	0	0	0
Bodenwetterlage 00 UTC (Kernlage des Druckgebiets, das SW-D beeinflusst)	T ü Belgien, T ü GG	H ü W-F	T ü GB	T mit Kernen zw. Isl u Schottl, ü Ärmel u M-Italien	H ü O-F	H ü W-D	H ü O-D	H ü Holland	H ü Polen	H ü Ukrai
Bodenströmung 12 UTC zyklonal (z), antizyklonal (a)	a-z	a	z	a-z	a	a	a	a	a	z
Strömung auf 500 hpa 00 UTC	Sz	a-z	SW z	S z	fl z	N flz	NO a	N a	NO a	NO a
zutreffende Wettersymbole	5 hr	3 hr	5 hr	5 r	2 f	2 hr	2 hr	2 hr	2 hr	2 r

Übertrag

Index 1: 0

Index 2: 0

04:07	00:20	01:49	01:27	03:33	01:06	07:48	13:05	21:39	10:51
SON 120 JUP	SON 72 SED	JUN 120 APO	SON 0 CHI	JUN 150 KN1	VEN 120 FY9	SON 135 CER	VEN 120 GSZ	MER 60 ERI	APO 90 KN1
FIS 10°29'19"	FIS 11°20'04"	FIS 29°49'08"	FIS 13°23'16"	WID 00°55'18"	WAS 00°08'25"	FIS 16°39'30"	WAS 02°15'56"	WAS 22°08'59"	LOW 00°38'27"
KRE 10°29'18"	STI 23°20'03"	KRE 29°49'08"	FIS 13°23'15"	SKO 00°55'18"	WAA 00°08'24"	SKO 01°39'30"	WAA 02°15'57"	WID 22°08'58"	SKO 00°38'27"
A W	A	A*	A K?	A*	H+2	A	T-2	A	A*
09:21	02:21	04:39	07:43	04:40	01:25	15:54	14:08	22:59	
SON 30 URA	VEN 30 GaZ	SON 135 MAR	PAL 150 JUN	URA 144 ORC	VEN 180 APO	JUN 180 GSZ	MER 120 EL6	VEN 60 JUN	
FIS 10°42'27"	STE 26°56'34"	FIS 12°31'06"	JUN 00°28'54"	WID 10°54'17"	WAS 00°09'05"	WID 02°15'57"	WAS 21°11'01"	WAS 03°29'52"	
WID 10°42'26"	SCH 26°56'34"	WAA 27°31'07"	WID 00°28'53"	JUN 04°54'17"	LÖW 00°09'05"	WAA 02°15'57"	WAA 21°11'02"	WID 03°29'52"	
T-3	T-2	A	T*-5	H2*(6/0,5) 0/49	A	A	A	H W +2	
18:25	09:24	09:31	11:02	10:36	05:15	19:22			
VEN 30 QUA	PAL 60 KN1	VES 150 JUN	VES 90 APO	PAL 30 FY9	PAL 60 VES	VEN 90 CER			
STE 26°41'07"	JUN 01°04'03"	WAA 29°59'21"	WAA 29°58'24"	JUN 00°09'04"	LÖW 29°55'35"	WAS 01°37'49"			
SCH 26°41'06"	SKO 01°04'03"	FIS 29°59'22"	KRE 29°58'23"	WAA 00°09'04"	WAA 29°55'35"	SKO 01°37'48"			
H ---	A*	A*	A*	A*	A*	A K?			
22:58	20:04	18:13	12:08	14:41	12:24				
PLU 72 KN1	VEN 90 MAR	JUN 180 FY9	VEN 72 URA	PAL 30 APO	SON 135 KN1				
STE 13°05'26"	STE 27°31'29"	WID 00°10'55"	STE 28°52'06"	JUN 00°06'06"	FIS 15°50'57"				
SKO 01°05'26"	WAA 27°31'28"	WAA 00°10'55"	WID 10°52'07"	LÖW 00°06'06"	SKO 00°50'57"				
H*(10,5/4) +11	A K	A*	A	A*	H ---				
		19:17	12:31	14:45	14:25				
		SON 60 PLU	MER 72 KN2	SON 135 VES	CER 150 JUN				
		FIS 13°07'48"	WAS 18°57'17"	FIS 14°56'44"	SKO 01°41'51"				
		STE 13°07'47"	STI 00°57'17"	WAA 29°56'43"	WID 01°41'51"				
		T-3	A	A*	A*				
		21:38	13:34	18:58	20:49				
		VEN 45 CHI	VEN 144 ORC	SON 135 APO	VEN 90 KN1				
		STE 28°22'40"	STE 28°55'01"	FIS 15°07'17"	WAS 00°49'51"				
		FIS 13°22'39"	JUN 04°55'01"	LÖW 00°07'17"	SKO 00°49'50"				
		A W	T-2	T-3	A K				
			16:34	19:20					
			SON 45 VEN	VEN 90 VES					
			FIS 14°01'09"	STE 29°56'24"					
			STE 29°01'09"	WAA 29°56'23"					
			A K	A					
				21:27					
				SON 144 EL6					
				FIS 15°13'31"					
				WAA 21°13'32"					
				T-6					
				21:35					
				VEN 150 PAL					
				WAS 00°01'05"					
				JUN 00°01'06"					
				A					
				23:17					
				FY9 60 APO					
				WAA 00°08'29"					
				LÖW 00°08'29"					
				H* +11					

Dipl.-Met. Sylvia Dorn 3.4.2014 / © Premeteo GmbH, Durbach

März 2014  **Prognose für SW-Deutschland**

Kommentar für Aktuelles: Der März 2014 ist gekennzeichnet durch die andauernde Konjunktion von Quaoar mit dem Zentrum der Milchstraße GaZ und den daraus resultierenden Auslösungen der fast exakten Aspekte. Ab dem 23. bis zum 9. 4. 2012 wird Apo 144* Gaz. Wegen der Unsicherheit des Verhältnisses vom Mondpogäum zum Zentrum der Milchstraße wird dieser Aspekt nur in den alternativen Index 3 eingerechnet. Bezüglich der Wettersymbole bringt der alternative Index daher vom 26. bis 28. daher überwiegend sonniges, antizyklonales Wetter.
Ebenso ist der ganze Monat gekennzeichnet durch das Nahe-beieinander-Stehen und in Konjunktiontreten von Vesta, Ceres und dem aufsteigenden Mondknoten. Dies bringt einen durchgehend positiven Wertezuwachs für den Premeteo-Index, sodass der ganze März 2014 ab dem 10. insgesamt trocken und sonnig ausfallen dürfte. Am 20. um 20:10 UTC wird der erstmals auftretende Aspekt Neptun 135* Haumea exakt. Sein Impuls ist noch unbekannt.

Langsamläufer-Impulse	H*			H*			H*	2 H*	?	
Schnellläufer-Impulse	3H, T	2Hf		Tf, 2T, H	Tf, H	T	2H, Tf, Hf	T	Hf, H	
Temperaturimpulse		W*, K			W	K			W?, K	
Premeteo-Index - zyklonal, + antizyklonal (Index 1+2+3)	20	22	16	5	-2	22	31	10	21	26
Pre.IX (ALTERNATIV)										
Index 1 (12 - 12 UTC) exakte Aspekte des Tages	4	6	7	-4	-9	-3	9	-1	9	14
Index 1 (ALTERNATIV)										
Symmetrien (0 - 0 UTC)	Mer 90 Sat Sed (08) H A A*(5/4,5) +7 Orc 150 Ven Jun (18) H A H W +7	Chi 8 Son Nep (21) A K? H? (1/0) ?	Nep 29 Ven Jun (00) A A* H W --- Orc 9op Chi Mer (17) T? (2/4) A ? GSZ 9op Son Ura (20) T H? (3/1) ?	Ven 74 Sat Eri (14) H* O Mak 6 op Son Jun (15) Hf A* ---	Qua 60 Mar Mer (10) A H T --- Mer 44 Ura Plu (14) T A A? (2,5/2) --- Nep 8 Chi Mer (15) H? (1/0) H W +7?	Pal 136 Ura Plu (05) H* A* A? (2,5/2) +7 Plu 72 Son Cer (13) T A* W* A ---	GSZ 5op Son Jun (14) T A* -7?	Mar 5 Hau Cer (01) H A +7? Plu 74 Son Ves (14) T --- Mer 4op Pal Orc (15) H A +7? Son 149 Pal Ves (15) A T A* -7 Ura 9op Hau GSZ (17) H? (5/1,5) H? (3/1) ?	Son 23 Nep Eri (19) ??	Orc top Nep Mer (16) ?* A ?
Index 2 (12 - 12 UTC)	7	7	0	0	0	7	0	-7	0	0
Index 2 (ALTERNATIV)										
ausgelöste LL-Aspekte	Mar 60 GaZ H4 Cer 90 Apo H5 (Ves 180 Kn2 H5)	Mar 60 GaZ H4 Cer 90 Apo H5 (Ves 180 Kn2 H5)	Mar 60 GaZ H4 Cer 90 Apo H5 (Ves 180 Kn2 H5)	Mar 60 GaZ H4 Cer 90 Apo H5 (Ves 180 Kn2 H5)	Mer 60 GaZ T-7 Mar 60 GaZ H4 Cer 90 Apo H5 Pal 120 GaZ H5	Mer 60 GaZ T-1 Mar 60 GaZ H4 Cer 30 Mak H5 Cer 90 Apo H5 Pal 120 GaZ H5	Son 90 GaZ H3 Mar 60 GaZ H4 Cer 30 Mak H5 Cer 90 Apo H5 Pal 120 GaZ H5	Son 90 GaZ H3 Cer 30 Mak H5 Cer 90 Apo H5 Pal 120 GaZ H5	Ven 45 GaZ H2 Cer 30 Mak H5 Pal 120 GaZ H5	Ven 45 GaZ H2 Cer 30 Mak H5 Pal 120 GaZ H5
Index 3 (Summe)	9	9	9	9	7	18	22	18	12	12
Index 3 (ALTERNATIV)										
Symbol-Frognose	2	2	2	3	3	2	2	2	2	2
Wochentag	Di	Mi	Do	Fr	Sa	So	Mo	Di	Mi	Do
Datum	11	12	13	14	15	16	17	18	19	20
reale Wetterlage					T3: Tf -H / -2	H3: 3H*, 2Hf, 2H - Tf, 2T - ?* / +110				
Luftdruck (hpa) 06 UTC	1026,1	1030,3	1029,9	1028,1	1022,8	1024,3	1023,4	1019,8	1026,1	1023,3
mittl. Temp. (°C)	7,5	7,9	8,2	7,9	7,9	11,7	11,6	10,6	11,4	12,6
Sonnenscheindauer (h)	9,2	10,5	10,6	0	0	4,5	11	6,3	4,9	11,2
Niederschlag (Liter)	0	0	0	0,2	0,2	0	0	0	0	0
Bodenwetterlage 00 UTC (Kernlage des Druckgebiets, das SW-D beeinflusst)	H ü Nsee, H ü O-Eu	H ü Nsee	H ü Irl, H ü O-Eu, H ü S-F	H ü GB, H ü O-Alpen	T ü S-Scand	H ü O-Atl	H ü O-Atl, u F	H ü SW-D	H ü Bisk	H ü NW-Balk
Bodenströmung 12 UTC zyklonal (z), antizyklonal (a)	fl z	fl a	fl a	a	a-z	a	a	fl a	a	fl a
Strömung auf 500 hpa 00 UTC	NO a	NO a	a	a	NW a-z	NW a	NW a	WNW a	W z	WNW a
zutreffende Wettersymbole	2 r	2 r	2 r	2 hr	5 hr	2-3 r	2 r	2-3 r	3 hr	2 r

06:16	03:20	17:45	01:58	01:46	00:46	02:49	03:17	02:08	13:43
MER 90 SAT WAS 23°15'26" SKO 23°15'26" H +1	MER 144 FY9 WAS 24°01'35" WAA 00°01'34" Hf K +7	MER 135 JUP WAS 25°31'44" KRE 10°31'45" A	SON 144 VES FIS 23°24'28" WAA 29°24'29" A	SON 144 KN1 FIS 24°23'46" SKO 00°23'46" A W	SON 72 PLU FIS 25°21'02" STE 13°21'01" T-3	MER 120 VES WAS 29°04'29" WAA 29°04'30" A	MER 120 KN1 FIS 00°14'01" SKO 00°14'02" H* +5	JUN 45 SED WAS 11°56'42" STI 23°26'47" H* +5	SON 180 FY9 FIS 29°51'55" JUN 29°51'54" Hf +9
08:37	06:51	21:17	01:59	03:27	09:04	07:12	10:52	02:31	14:57
MAR 60 GaZ WAA 26°56'39" SCH 26°56'39" H +4	PLU 72 CER STE 13°17'24" SKO 01°17'24" A* W*	SON 120 SAT FIS 23°12'48" SKO 23°12'48" A	SON 60 SED FIS 23°24'31" STI 23°24'30" A	MER 60 GaZ WAS 26°56'41" SCH 26°56'40" Tf-7	CHI 135 VES FIS 14°09'46" WAA 29°09'46" A*	VEN 72 ERI WAS 10°13'15" WID 22°13'14" A	MER 120 CER FIS 00°36'02" SKO 00°36'04" A	VEN 45 GaZ WAS 11°56'42" SCH 26°56'42" H +2	VEN 30 PLU WAS 13°24'53" STE 13°24'53" A W?
09:49	07:36		02:25	11:23	11:14	11:38	11:19	07:45	19:13
VEN 150 ORC WAS 04°47'10" JUN 04°47'11" H +2	JUN 150 ORC WID 04°46'09" JUN 04°46'10" A*		NEP 30 JUN FIS 05°44'03" WID 05°44'03" A*	SON 120 VAR FIS 24°47'43" KRE 24°47'42" A	MER 45 PLU WAS 28°21'25" STE 13°21'25" A	SON 90 QUA FIS 26°47'48" SCH 26°47'48" H +3	SAT 135 JUN SKO 23°06'35" WID 08°06'34" A*	MER 150 APO FIS 01°37'46" LOW 01°37'44" A	SON 150 KN1 WID 00°05'35" SKO 00°05'34" A K
09:58	09:13		09:45	15:03	18:39	15:12	14:20	09:06	20:10
MER 90 SED WAS 23°23'22" STI 23°23'22" A	PLU 135 PAL STE 13°17'30" LOW 28°17'30" A*		CER 90 APO SKO 01°04'53" LOW 01°04'53" H* +5	SON 144 CER FIS 24°56'51" SKO 00°56'51" A	SON 150 MAR FIS 26°05'33" WAA 26°05'33" A K	SON 90 GaZ FIS 26°56'40" SCH 26°56'41" H +6	MER 144 VAR FIS 00°46'11" KRE 24°46'11" A	PAL 120 QUA LOW 26°48'13" SCH 26°48'13" A*	NEP 135 EL6 FIS 05°58'36" WAA 20°58'36" ?*
14:01	09:26		11:33	16:54	18:03	14:52	11:13	11:13	23:03
SON 144 MAR FIS 20°54'57" WAA 26°54'58" TW -3	VEN 30 NEP WAS 05°40'18" FIS 05°40'18" A		MER 144 GSZ WAS 26°15'57" WAA 02°15'58" Tf-7	MER 180 PAL WAS 27°32'01" LOW 27°32'01" H ---	VEN 150 JUP WAS 10°39'01" KRE 10°39'00" Tf K-8	PAL 120 GaZ LOW 26°56'41" SCH 26°56'41" H* +5	SON 150 VES FIS 28°46'06" WAA 28°46'05" H +6	SON 150 CER WID 00°15'06" SKO 00°15'06" H +6	
17:29	15:59		15:02		19:03	19:00	20:25	20:25	
PAL 144 JUN LOW 28°27'07" WID 04°27'07" H* +5	MAR 60 QUA WAA 26°46'23" SCH 26°46'22" A		MER 45 URA WAS 26°24'47" WID 11°24'48" T-2		SON 150 PAL FIS 27°06'15" LOW 27°06'15" A	VEN 60 URA WAS 11°38'39" WID 11°38'40" A	MER 150 GSZ FIS 02°15'57" WAA 02°15'58" A		
19:13	20:21		18:18		20:41	22:57	21:58		
SON 150 EL6 FIS 21°07'56" WAA 21°07'57" T-6	SON 30 ERI FIS 22°10'38" WID 22°10'38" A		MER 120 MAR WAS 26°28'00" WAA 26°27'60" T-2		MER 150 FY9 WAS 29°55'02" JUN 29°55'01" Hf +7	VEN 45 QUA WAS 11°48'08" SCH 26°48'08" T ---	URA 135 PAL WID 11°42'26" LOW 26°42'26" H* +5		
22:09	23:57		23:46						
VEN 72 SAT WAS 05°14'51" SKO 23°14'50" A	MER 150 VAR WAS 24°49'03" KRE 24°49'02" Hf K +7		MER 60 QUA WAS 26°47'09" SCH 26°47'08" H ---						

